

Štruktúra hliníkových zliatin pre vysokotlakové odlievanie

Martin Medňanský, Ing.*

Katedra technologického inžinierstva, Strojnícka fakulta,
Žilinská univerzita v Žiline,
Univerzitná 1, 010 26 Žilina.
E-mail: martin.mednansky@fstroj.uniza.sk, Tel.: + 421 41 513 2771

Marek Brúna, doc. Ing., PhD.

Katedra technologického inžinierstva, Strojnícka fakulta,
Žilinská univerzita v Žiline,
Univerzitná 1, 010 26 Žilina.
E-mail: marek.bruna@fstroj.uniza.sk, Tel.: + 421 41 513 2756

Marek Matejka, Ing., PhD.

Katedra technologického inžinierstva, Strojnícka fakulta,
Žilinská univerzita v Žiline,
Univerzitná 1, 010 26 Žilina.
E-mail: marek.matejka@fstroj.uniza.sk, Tel.: + 421 41 513 2756

Structure of aluminium alloys used in high-pressure die casting

Abstract: The aim of the presented paper was to carry out a review of the internal structure of alloys used for high-pressure die casting (HPDC) and to experimentally perform a structural analysis of $AlSi_9Cu_3(Fe)$ alloy. Several castings with varying casting parameter – maximum plunger speed v_{max} were cast. In pre-selected critical locations, a change in porosity was observed with the change of the speed, and the casting samples with $v_{max} = 2$ and $3 \text{ m}\cdot\text{s}^{-1}$ showed the lowest porosity. The effect of v_{max} was also observed on the shape and size of the structural components, where at higher v_{max} the eutectic Si grew in length and decreased in thickness. EDS analysis determined found intermetallic phases to be $\alpha-Al(Fe,Mn,Cr)Si$ in the shape of a rhombic dodecahedron with sizes as small as $2 \mu\text{m}$ and Al_2Cu occurring in both modifications – oblong grains and globular ternary eutectic.

Keywords: HPDC, Al-Si alloy, porosity, structure

ÚVOD

Zliatiny Al-Si, tzv. silumíny, sú najčastejšie používaným typom zliatin pre vysokotlakové odlievanie. Podstatná časť produkcie hliníkových odliatkov je tvorená silumínmi, a to vďaka svojim výborným zlievarenským a dobrým mechanickým vlastnostiam. Na odlievanie tlakovým liatím sú primárne určené:

- zliatiny Al-Si:
 - eutektické - na liatie pod tlakom sa používajú pre svoju dobrú zabiehavosť a dlhú životnosť foriem. Používajú sa na výrobu tenkostenných členitých odliatkov, kde sa vyžaduje odolnosť voči korózii,
 - podeutektické - použitie tam, kde záleží na výbornej ťažnosti a odolnosti voči korózii,
 - Al-Si s prísadou horčíka - umožňuje čiastočné vytvrdzovanie vyhriatím odliatkov počas niekoľkých hodín na $150 \text{ }^\circ\text{C} \div 180 \text{ }^\circ\text{C}$,

- zliatiny Al-Si-Cu - kde je obsah Si väčší než obsah Cu. Majú zníženú odolnosť voči korózii a vyskytuje sa v nich väčší obsah nečistôt,
- zliatiny Al-Mg - napriek vynikajúcim mechanickým vlastnostiam zliatin s 10 % Mg je veľký interval tuhnutia pre liatie pod tlakom nevýhodný. Zliatina má sklon k lepeniu odliatku na formu, preto sú často potrebné úpravy formy [1].

1 ŠTRUKTÚRNE ZLOŽKY Al-Si ZLIATIN

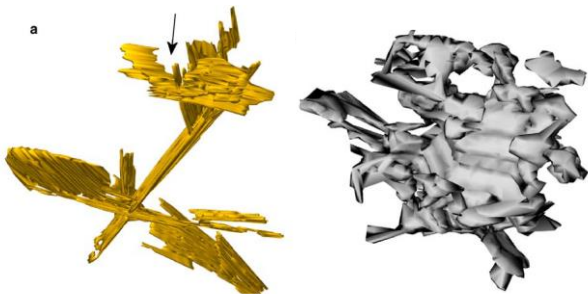
Podeutektická zliatina Al-Si sa skladá z primárnych dendritov substitučného tuhého roztoku α a eutektika vylúčeného v medzidendritických priestoroch. Štruktúru eutektickej zliatiny Al-Si tvorí eutektikum, pri modifikovaných zliatinách aj jednotlivé kryštály α fázy. Štruktúra nadeutektickej zliatiny Al-Si je tvorená

matricou *eutektika* a v nej sa nachádzajúcich častíc primárneho *Si*.

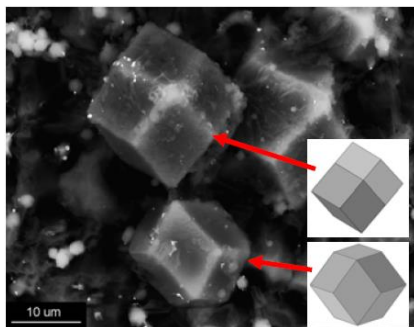
Dendrity $\alpha(Al)$ pri vysokotlakovom odlievaní dosahujú veľkú jemnosť v dôsledku rýchleho ochladzovania v kovovej forme priamej závislosti medzi tlakom v tavenine a kritickou veľkosťou zárodka. V dôsledku čoho sú dosahované vyššie mechanické vlastnosti [2, 3].

Eutektikum je mechanická zmes substitučného tuhého roztoku $\alpha(Al)$ a kryštálov takmer čistého *eutektického kremíka*, vznikajúca priamo z taveniny pri *eutektickej* premene. [4] *Eutektikum* sa v procese vysokotlakového liatia vylučuje prednostne v zrnitej a lamelárnej morfológii [5].

Železo je v *hlinikových* zliatinách považované za nečistotu. V *Al-Si* zliatinách vytvára intermetalické fázy s nepriaznivým účinkom na mechanické vlastnosti. Všeobecne je obsah *Fe* prijateľný do 0,5 hm. %. Špecifikom vysokotlakového odlievania je, že obsah *Fe* do 1 hm. % nie je problémom, nakoľko zabraňuje priváraníu odliatkov na kovové formy [3]. Prídavok *Fe* môže znížiť ťažnosť materiálu odliatku, ale zvýšiť medzu klzu a tvrdosť odliatku [6].



Obr. 1. 3D zobrazenie *Fe* intermetalických fáz v tvare dosiek a čínskeho písma [7]



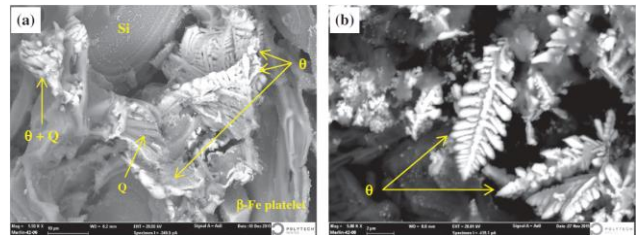
Obr. 2. *Železitá* fáza v tvare dvanásťstenu [8]

Z hľadiska vplyvu na mechanické vlastnosti je najmenej výhodná morfológia dlhých a hrubých dosiek fázy $\beta-Al_5FeSi$, ktoré sa na metalografickom výbruse prejavujú ako ihlice (obr. 1 vľavo). V dôsledku ich prítomnosti dochádza k poklesu ťažnosti, zníženiu pevnosti a lomovej húževnatosti.

Výhodnejším zložením a tvarom intermetalickej fázy *Fe* je čínske písmo $\alpha-Al_{15}(Fe,Mn)_3Si_2$, ktorá vzniká pridaním dostatočného množstva *Mn* [7].

Pridaním vedľajších prísadových prvkov *Mn* a *Cr* bola v zliatine $AlSi_9Cu_3(Fe)$ odlievanej vysokotlakovým liatím experimentálne zistená prítomnosť železitej intermetalickej fázy *železa* $\alpha-Fe$ vo forme *rombického* dvanásťstenu (obr. 2) [8].

Med' sa v mikroštruktúrach odliatych technológiou vysokotlakového liatia môže vyskytovať v dvoch modifikáciách fázy Al_2Cu - samostatne ako drobné oválne zrno s vysokou koncentráciou *Cu*, alebo ako ternárne *eutektikum* $Al-Al_2Cu-Si$, ktoré možno pozorovať v tepelne nespracovaných zliatinách ako kompaktné oválne útvary z množstva guľových častíc [4].



Obr. 3. Modifikácie Al_2Cu fázy vo vysokotlakových odliatkoch [11]

Pórovitosť je spôsobená prítomnosťou plynov. Najškodlivejšími plynmi pre *hlinikové* zliatiny sú *vodík*, *kyslík* a *vodná para*. Do taveniny sa dostávajú z atmosféry, výmurovky pece, téglikov, náradím. Pri styku roztaveného kovu s vodnou parou dochádza k disociácii vody. *Kyslík* reaguje s *Al*, *vodík* sa v roztavenom kove rozpúšťa. Iným zdrojom prítomnosti *vodíka* môže byť vsádzka, ak sa pridáva do taveniny bez dôkladného predohrevu. *Vodík* je viazaný vo forme vody v póroch a vo forme hydroxidov na zoxidovanom povrchu v podobe $Al(OH)_3$, z ktorého sa uvoľňuje [3]. Špecifikom vysokotlakového liatia je pórovitosť vznikajúca uzatvorením vzduchu v tavenine počas plnenia formy. Pri pomalom pohybe piesta môže nastať zvíernenie taveniny, uzavru sa v nej plyny, a to odrazením vlny od konca plniacej komory. Pri rýchlom pohybe piesta môže nastať prevalenie vlny, kedy sa plyny uzavru v tavenine. Pórovitosť sa znižuje zvýšením tlaku lisovania [9, 10].

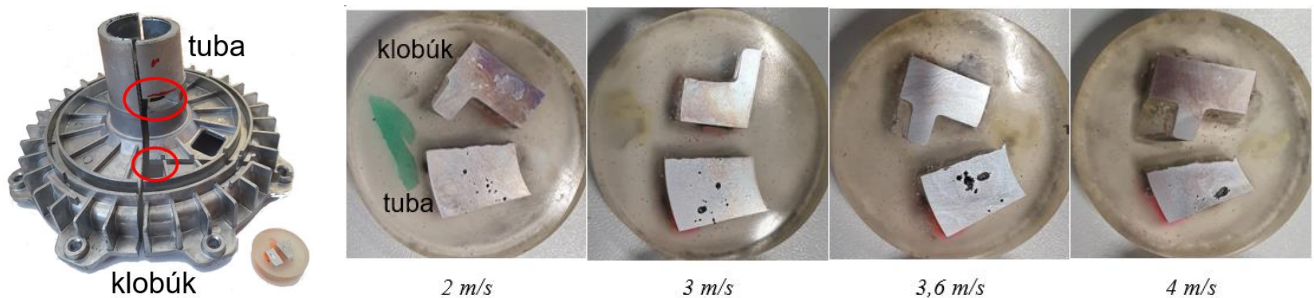
EXPERIMENTÁLNE POZOROVANIE

Úlohou experimentu bolo porovnať štruktúru konštrukcie elektromotora, tlakovo odliateho zo zliatiny $AlSi_9Cu_3(Fe)$ vo firme *Rosenberg Slovakia spol. s r. o., Medzev*. Obsah prísadových prvkov v experimentálnej zliatine je uvedený v tab. 1.

Tab. 1. Chemické zloženie zliatiny $AlSi_9Cu_3(Fe)$

Chemické zloženie [hm. %]						
<i>Si</i>	<i>Fe</i>	<i>Cu</i>	<i>Mn</i>	<i>Mg</i>	<i>Cr</i>	<i>Ni</i>
10,3	0,72	2,1	0,16	0,13	0,02	0,07

Experimentálne odliatky boli odliate v štyroch variáciách, a premenným parametrom bola maximálna rýchlosť lisovacieho piesta v plniacej komore $v_{\max} = 2, 3, 3,6$ a $4 \text{ m}\cdot\text{s}^{-1}$. Po natavení vsádzky a odplynení taveniny bolo odlievanie vykonané na tlakovom lejacom stroji s horizontálnou studenou komorou *CLH 630.02P*. Na základe skôr vykonanej simulácie priebehu tuhnutia taveniny a mikropórovitosti boli z každého odliatku zvolené dve miesta vhodné na pozorovanie - vzorka z tubovej časti vzhľadom na to, že ide o najvýraznejší tepelný uzol, a vzorka z teknostennej časti klobúka. Vzorky boli preparované zaliatím do *dentakrylu*, ďalej brúsené brúsnyimi papiermi so zrnitosťou 100 až 1000 a leštené. Ako leptadlo bola použitá kyselina *HF* v koncentrácii 0,5 % počas 15 sekúnd.



Obr. 3. Odliatok nosnej konštrukcie elektromotora a vizuálne pozorovanie makroštruktúry kritických miest.

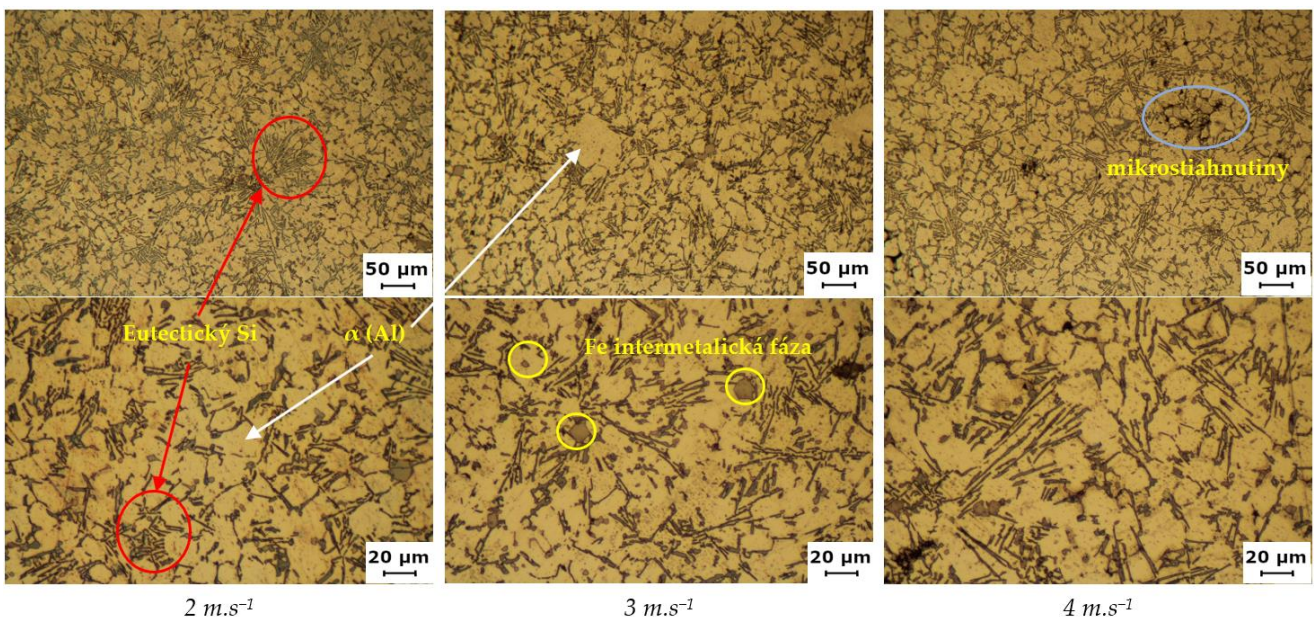
Vizuálnou kontrolou makroštruktúry vzoriek voľným okom bolo zistené, že pri nízkych rýchlostiach pohybu piesta sú dutiny (či póry, bubliny, riediny alebo stiahnutiny) v pozorovanom priereze tubovej časti odliatkov rozptýlené po stredovej časti medzikružia. So zvyšujúcou v_{\max} sa dutiny zväčšujú a zhlukujú, ich počet však zdanlivo klesá. Berúc do úvahy kombináciu čo najmenej veľkosti a početnosti chýb, za najviac vyhovujúci možno považovať s

$v_{\max} = 3 \text{ m}\cdot\text{s}^{-1}$. Klobúkové časti oboch geometrických variantov odliatkov pri všetkých štyroch experimentálnych rýchlostiach pohybu piesta sa pri pozorovaní voľným okom javia ako bezchybné.

Pozorovanie mikroštruktúry prebiehalo na svetelnom mikroskope *Neophot 2* v svetlom poli pri zväčšení 200 a 500x. So zmenou maximálnej rýchlosti pohybu piesta možno pozorovať zmenu veľkosti *eutektického kremíka* a *dendritov α -fázy*. *Eutektikum* má nemodifikovanú morfológiu vo forme hexagonálnych lamiel, ktoré sa v rovine prejavujú ako tmavé ihlice (obr. 5). So zvyšujúcou rýchlosťou sa ihlice predlžujú a stenčujú. Možno sledovať prítomnosť mikroťahnutín kopírujúcich *dendritickú* stavbu zliatiny. Najčastejším zdrojom pórovitosti sú kapsule zachyteného vzduchu v strhnutých oxidických

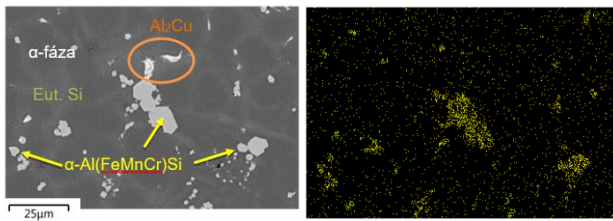
blanách. Na snímkach so zv. 500x možno pozorovať prítomnosť polyedrických intermetalických fáz. Ďalšie skúmanie týchto fáz prebehlo pomocou *EDS* analýzy.

Výsledky *EDS* analýzy potvrdzujú výskyt prvkov *Fe*, *Cr* a *Mn* majoritne v polyedrickej fáze v strede obr. 6 vľavo, rovnako aj v menších fázach. Malé polyedrické intermetalické fázy s veľkosťou už od $2 \mu\text{m}$ vyskytujúce sa aj v snímkach svetelnej



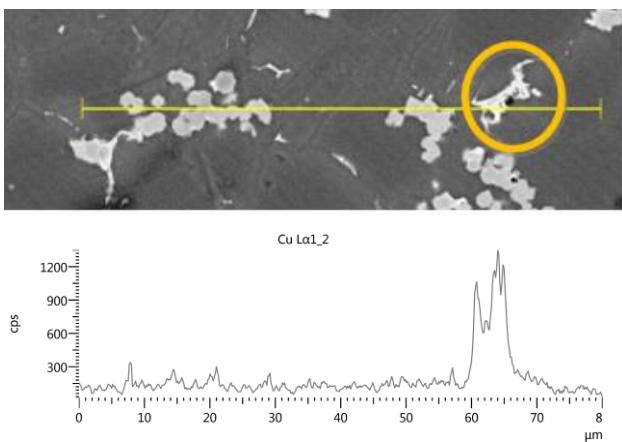
Obr. 4. Mikroštruktúra tubových častí odliatkov pri 200- a 500-násobnom zväčšení.

mikroskopie teda možno považovať za dvanásťstennú fázu $\alpha\text{-Al}(\text{Fe},\text{Mn},\text{Cr})\text{Si}$, čo korešponduje s výsledkami iného experimentu [8].



Obr. 5. EDS analýza Fe intermetallickej fázy - mikrofotografia a analýza prítomnosti Fe

Čiarová EDS analýza umožnila určiť zakrúžkovanú kompaktnú fázu ako Al_2Cu . Vo vzorkách sa však fáza prejavovala aj v eutektickej modifikácii vo forme guľovitých častíc.



Obr. 6. Čiarová EDS analýza Cu fázy

ZÁVER

Cieľom predloženého príspevku bolo vykonať rešerš poznatkov o vnútornej stavbe zliatin používaných na vysokotlakové odlievania a experimentálne vykonať štruktúrnú analýzu zliatiny $\text{AlSi}_9\text{Cu}_3(\text{Fe})$, z ktorej bol vysokotlakovým odlievaním zhotovený odliatok. Pridanou hodnotou príspevku je vyhotovenie viacerých odliatkov so zmenou parametra odlievania - rôzne rýchlosti posuvu piesta v_{max} . Vo vopred vybraných kritických miestach bola so zmenou rýchlosti pozorovaná zmena pórovitosti, pričom za vyhovujúcejšie možno považovať vzorky odliatkov s $v_{\text{max}} = 2$ a $3 \text{ m}\cdot\text{s}^{-1}$. Vplyv v_{max} bol pozorovaný aj na tvare a veľkosti štruktúrnych zložiek, kde pri vyšších v_{max} eutektický Si rástol do dĺžky a znižoval svoju hrúbku. EDS analýzou boli skúmané neznáme intermetalické fázy a bolo určené, že ide o fázu $\alpha\text{-Al}(\text{Fe},\text{Mn},\text{Cr})\text{Si}$ v tvare romboického dvanásťstenu s veľkosťou už od $2 \mu\text{m}$ a Al_2Cu vyskytujúcu sa v oboch modifikáciách. Predmetom ďalších experimentov môže byť dôkladné skúmanie vplyvu zmeny rýchlosti v_{max} na štruktúrne zložky zliatiny.

LITERATÚRA

- [1] RAGAN, E. et al. (2007): *Liatie kovov pod tlakom*. Prešov : s.n., 2007. ISBN 978-80-8073-979-9.
- [2] TALANDA, I. (2010): *Studium hlavných faktorů, které ovlivňují jakost u technologických procesu*. Brno: Vysoké učení technické, 2010, Závěrečná práce.
- [3] BOLIBRUCHOVÁ, D. - PASTIRČÁK, R. (2018): *Zlievarenská metalurgia neželezných kovov*. Žilina : EDIS – vydavateľské centrum ŽU, ISBN 978-80-554-1463-8.
- [4] TILLOVÁ, E. - CHALUPOVÁ, M. (2009): *Štruktúrna analýza zliatin Al-Si*. Žilina : Žilinská univerzita v Žiline. ISBN 978-80-554-0088-4.
- [5] OUTMANI, I. - FOUILLAND-PAILLE, L. A. - ISSELIN, J. (2017): *Effect of Si, Cu and processing parameters on Al-Si-Cu HPDC castings*. s. 1.: Elsevier, 2017. 249 (2017) 559–569. DOI 10.1016/j.jmatprotec.2017.06.043.
- [6] JIAO X.Y. - LIU, Y.X. - WANG, J. - LIU, W.N. - WAN, A.X. - WIESNER, S. - XIONG, S.M. (2022): *The microstructure characteristics and fracture behavior of the polyhedral primary iron-rich phase and plate-shaped eutectic iron-rich phase in a high-pressure die-cast AlSi10MnMg alloy*: Journal of Materials Science & Technology. 2022. <https://doi.org/10.1016/j.jmst.2022.09.014>
- [7] DINNIS, C. M. - TAYLOR, J. A. - DAHLE, A. K. (2005): *As-Cast morphology of iron-intermetallics in Al-Si foundry alloys*: Scripta Materialia. 2005, 53 955-958.
- [8] FABRIZI, A. - FERRARO, S. - TIMELLI, G. (2014): *The Influence of Fe, Mn and Cr Additions on the Formation of Iron-rich Intermetallic Phases in an Al-Si Die-casting Alloy*. Shape Casting: 5th International Symposium. DOI: 10.1007/978-3-319-48130-2_34.
- [9] MAJERNÍK, J. - GAŠPÁR, Š. - PODARIL, M. - KOLÍNSKY, J. (2019): *The Influence of the Gate Geometry on Selected Process Parameters in the High Pressure Die Casting Technology*: Manufacturing Technology February 2019, Vol. 19, No. 1. s. 101-106. ISSN 1213-2489.
- [10] MAJERNÍK, J. - GERKOVÁ, J. (2014): *Vplyv konštrukcie vtokového systému na kvalitu odliatkov* Portál pre odborné publikovanie, Ročník 7, č. 8, ISSN 1338-0087
- [11] BEROUAL, S. - BOUMERZOUG, Z. - PAILLARD, P. - BORJON-PIRON, Y. (2019): *Comparative study on the microstructures and hardness of the AlSi10.6CuMg alloy produced by casting and high pressure die casting*: International Journal of Cast Metals Research.32(4):1-22, DOI: 10.1080/13640461.2019.1603681